

КИНЕТИЧЕСКИЕ УРАВНЕНИЯ ДЛЯ МАТРИЦЫ ПЛОТНОСТИ, ОПИСЫВАЮЩИЕ НЕЛИНЕЙНЫЕ ЭФФЕКТЫ В КРЫЛЬЯХ СПЕКТРАЛЬНЫХ ЛИНИЙ

А. И. Пархоменко^{}, А. М. Шалагин^{**}*

*Институт автоматики и электрометрии Сибирского отделения Российской академии наук
630090, Новосибирск, Россия*

*Новосибирский государственный университет
630090, Новосибирск, Россия*

Поступила в редакцию 21 марта 2011 г.

Выведены квантовые кинетические уравнения для матрицы плотности с интегралами столкновений, описывающими нелинейные эффекты в крыльях спектральных линий. Показано, что из этих уравнений следует установленный ранее факт неравенства спектральных плотностей коэффициентов Эйнштейна для поглощения и вынужденного испускания излучения двухуровневой квантовой системой в далеком крыле спектральной линии в условиях частых столкновений. Установлена связь вероятностей поглощения и вынужденного испускания с характеристиками излучения и элементарного акта рассеяния.

1. ВВЕДЕНИЕ

Двухуровневая модель квантовой системы является одной из наиболее изученных в атомной спектроскопии. Давно укоренилось представление о том, что вследствие равенства вероятностей процессов поглощения и вынужденного испускания непрерывное излучение способно лишь выровнять заселенность уровней в двухуровневой системе, но никак не создать инверсию населенностей. Однако, как оказывается, влияние термостата на процессы взаимодействия квантовой системы с излучением может приводить к существенному дисбалансу между процессами испускания и поглощения излучения квантовой системой. В работах [1–10] было показано, что в крыле линии поглощения активных частиц газа при наличии частых столкновений с буферными частицами (термостат) вероятности поглощения и вынужденного испускания не равны друг другу.

В работах [7, 8] на основе общих термодинамических требований показано, что если монохроматическое излучение взаимодействует с атомами газа в сугубо нерезонансных условиях и они испытывают частые столкновения (например, находятся в атмосфе-

ре буферного газа), то спектральные плотности коэффициентов Эйнштейна для поглощения ($b_{12}(\Omega)$) и вынужденного испускания ($b_{21}(\Omega)$) связаны между собой соотношением

$$b_{21}(\Omega) = b_{12}(\Omega) \exp(-\hbar\Omega/k_B T), \quad (1)$$

где $\Omega = \omega - \omega_{21}$ — отстройка частоты излучения ω по отношению к частоте перехода ω_{21} между уровнями $|2\rangle$ и $|1\rangle$, \hbar — постоянная Планка, k_B — постоянная Больцмана, T — температура. Соотношение (1) сохраняет силу при любом знаке Ω . В случае, когда $\hbar|\Omega| \ll k_B T$, из (1) следует каноническое равенство для вероятностей поглощения и индуцированного испускания.

Отметим, что необходимость введения множителя $\exp(-\hbar\Omega/k_B T)$ для процессов поглощения и вынужденного испускания из термодинамических соображений впервые была отмечена еще в работах Галлагера с соавторами [1] (см. также [2]). Более того, из результатов [1, 2] следует и соотношение (1), хотя оно и не было явно приведено в этих работах.

В работах Старостина с соавторами [3–5] на основе метода кинетических функций Грина [11] построена обобщенная теория переноса резонансного излучения, справедливая для широких спектральных линий. В работах [3–5] строго обосновано появление

^{*}E-mail: par@iae.nsk.su

^{**}E-mail: shalagin@iae.nsk.su

множителя $\exp(-\hbar\Omega/k_B T)$ в уравнениях переноса излучения.

Ярким следствием соотношения (1) является формирование инверсии населенностей в двухуровневой системе при поглощении непрерывного лазерного излучения в «синем» крыле спектральной линии и при частых столкновениях (при больших давлениях буферного газа). Этот эффект зарегистрирован экспериментально в виде генерации когерентного излучения на резонансном переходе атомов натрия (D -линии) [6, 8–10]. В этих экспериментах лазерная генерация наблюдалась в режиме сверхсветимости (за один проход активной среды) в широком диапазоне положительных отстроек излучения накачки (до 400 см⁻¹ от центра D_2 -линии [10]) и только в присутствии буферного газа при достаточно высоком его давлении (более 200 Торр).

Обнаруженный эффект не описывается широко и повсеместно используемыми в настоящее время квантовыми кинетическими уравнениями для матрицы плотности (см., например, [12, 13]). Из этих уравнений не следует соотношение (1) и возможность возникновения инверсии населенностей в двухуровневой системе при нерезонансном оптическом возбуждении. Причина состоит в том, что при выводе этих уравнений предполагалось, что все радиационные процессы происходят в течение времени свободного пробега. Это допущение справедливо в области отстроек частоты излучения, не сильно выходящих за пределы ударной полуширины линии поглощения Г. При большой отстройке частоты

$$|\Omega| \gg \Gamma \quad (2)$$

и значительном ударном уширении (как в экспериментах [6, 8–10]) ситуация радикально меняется. Как показано в работах [14–16], в этих условиях радиационные переходы осуществляются в акте столкновений, а не на свободном пробеге (так называемые оптические столкновения). Учет этого обстоятельства должен привести к коррекции привычных кинетических уравнений для матрицы плотности, определенной в базисе невозмущенных атомных состояний. Влияние внешнего электромагнитного поля на интегралы столкновений в квантовых кинетических уравнениях рассматривалось ранее в ряде работ [15, 17–19]. Однако в этих работах не исследовался вопрос о необходимости введения множителя $\exp(-\hbar\Omega/k_B T)$ для процессов поглощения и вынужденного испускания. Целью настоящей работы является обобщение квантовых кинетических уравнений для матрицы плотности с тем, чтобы в них естественным образом учитывался эффект неравенства

спектральных плотностей коэффициентов Эйнштейна для поглощения и вынужденного испускания (см. соотношение (1)).

2. ПОСТАНОВКА ЗАДАЧИ

Остановимся подробнее на постановке задачи. Рассмотрим газ поглощающих излучение двухуровневых частиц (с основным уровнем $|1\rangle$ и возбужденным уровнем $|2\rangle$), находящихся в смеси с буферным газом. Столкновениями между поглощающими частицами пренебрежем, полагая концентрацию буферного газа N_b много большей концентрации поглощающего газа N . Полагаем, что при столкновениях внутренние состояния двухуровневых частиц не меняются (упругие столкновения). Пусть на поглощающие частицы воздействует монохроматическое поле $\mathbf{E} = \text{Re} \mathbf{E} \exp(-i\omega t)$ с частотой ω , близкой к частоте ω_{21} перехода $|2\rangle - |1\rangle$ между уровнями (здесь \mathbf{E} — напряженность электрического поля излучения). Будем рассматривать случай однородного уширения линии поглощения, когда доплеровская ширина мала по сравнению с ударной (случай достаточно высокого давления буферного газа). В резонансном приближении (отстройка частоты от резонанса мала по сравнению с частотой перехода, приближение вращающейся волны) взаимодействие излучения с частицами описывается следующими кинетическими уравнениями для элементов матрицы плотности, определенной в базисе невозмущенных атомных состояний [13]:

$$\begin{aligned} \frac{d}{dt}\rho_{22} &= -A\rho_{22} - 2\text{Re}(iG^*\rho_{21}) + \left(\frac{\partial\rho_{22}}{\partial t}\right)_{coll}, \\ \frac{d}{dt}\rho_{11} &= A\rho_{22} + 2\text{Re}(iG^*\rho_{21}) + \left(\frac{\partial\rho_{11}}{\partial t}\right)_{coll}, \\ \left(\frac{d}{dt} + \frac{A}{2} - i\Omega\right)\rho_{21} &= iG(\rho_{11} - \rho_{22}) + \left(\frac{\partial\rho_{21}}{\partial t}\right)_{coll}, \end{aligned} \quad (3)$$

где

$$\Omega = \omega - \omega_{21}, \quad G = \frac{d_{21}E}{2\hbar}. \quad (4)$$

Здесь ρ_{ii} — населенность уровня $|i\rangle$ ($i = 1, 2$), A — скорость спонтанного распада возбужденного уровня $|2\rangle$, d_{21} — матричный элемент дипольного момента перехода $|2\rangle - |1\rangle$, $(\partial\rho_{ij}/\partial t)_{coll}$ — интегралы столкновений, описывающие изменение элементов матрицы плотности за счет упругих столкновений с частицами буферного газа. Населенности уровней связаны с концентрацией N поглощающих частиц соотношением (условие нормировки)

$$\rho_{11} + \rho_{22} = N. \quad (5)$$

Для интегралов столкновений, входящих в уравнения (3), хорошо известны выражения через характеристики элементарного акта рассеяния (через амплитуды рассеяния), полученные в рамках ударного приближения (время столкновения значительно меньше времени свободного пробега) [13]. Эти выражения справедливы в предположении, что поле излучения не участвует в актах столкновений. Нашей задачей является нахождение интегралов столкновений $(\partial \rho_{ij}/\partial t)_{coll}$ при большой отстройке частоты Ω (в условиях (2)), когда радиационные переходы осуществляются в акте столкновения, а не на свободном пробеге (оптические столкновения).

Главной отличительной особенностью оптических столкновений является неразделимость акта столкновения и акта поглощения, испускания или рассеяния света [14–16]. В связи с этим будем решать столкновительную задачу на основе представлений о компаунд-системах «взаимодействующие атом + электромагнитное поле» (атом, «одетый» по нему) [16, 20] как самостоятельном физическом объекте, характеризующемся своими уровнями энергии и с которым можно обращаться примерно так же, как и с обычной частицей (см., например, [19]). При таком подходе естественным образом учитывается участие поля излучения в актах столкновений «одетого» атома с буферными частицами. Если мы найдем изменение элементов матрицы плотности «одетого» атома за счет столкновений с частицами буферного газа, то, осуществляя переход от базиса «одетых» состояний к базису невозмущенных атомных состояний, получим искомые выражения для интегралов столкновений $(\partial \rho_{ij}/\partial t)_{coll}$, входящих в уравнения (3).

3. ИНТЕГРАЛЫ СТОЛКНОВЕНИЙ В БАЗИСЕ «ОДЕТЫХ» СОСТОЯНИЙ

При квантовомеханическом рассмотрении «одетые» состояния атома характеризуются волновыми функциями [16, 20]

$$\begin{aligned} |\tilde{\varphi}_1(n)\rangle &= b_1|1\rangle|n\rangle + b_2|2\rangle|n-1\rangle, \\ |\tilde{\varphi}_2(n)\rangle &= b_2^*|1\rangle|n\rangle - b_1|2\rangle|n-1\rangle, \end{aligned} \quad (6)$$

где b_1, b_2 — коэффициенты разложения функций компаунд-системы по волновым функциям невзаимодействующих атома (состояния $|1\rangle, |2\rangle$) и поля (состояние $|n\rangle$, n — число фотонов в лазерном поле);

$$\begin{aligned} b_1 &= \frac{1}{\sqrt{2}}\sqrt{1 - \frac{\Omega}{\Omega_R}}, & b_2 &= \frac{G}{|G|}\frac{1}{\sqrt{2}}\sqrt{1 + \frac{\Omega}{\Omega_R}}, \\ \Omega_R &= \sqrt{4|G|^2 + \Omega^2}. \end{aligned} \quad (7)$$

Волновые функции (6) ортонормированы, т. е. удовлетворяют условию

$$\langle\tilde{\varphi}_i(n)|\tilde{\varphi}_j(k)\rangle = \delta_{ij}\delta_{nk}, \quad (8)$$

где δ_{ij} — символ Кронекера. Строго говоря, коэффициенты b_1, b_2 зависят от n . Однако мы пренебрегли их изменением в зависимости от n , полагая, что в квантовомеханическом состоянии лазерного поля неопределенность числа фотонов Δn много меньше среднего числа фотонов \bar{n} , которое считаем большишим:

$$\Delta n \ll \bar{n}, \quad \bar{n} \gg 1. \quad (9)$$

Состояниям $|\tilde{\varphi}_i(n)\rangle$ «одетого» атома соответствуют энергии $\tilde{E}_i(n)$, равные

$$\begin{aligned} \tilde{E}_1(n) &= E_1 + n\hbar\omega - \frac{\hbar(\Omega + \Omega_R)}{2}, \\ \tilde{E}_2(n) &= \tilde{E}_1(n) + \hbar\Omega_R, \end{aligned} \quad (10)$$

где E_1 — энергия атома в состоянии $|1\rangle$. Согласно (10) состояние $|\tilde{\varphi}_2(n)\rangle$ «одетого» атома расположено выше состояния $|\tilde{\varphi}_1(n)\rangle$ на величину обобщенной частоты Раби Ω_R (в частотной шкале), а состояния $|\tilde{\varphi}_i(n)\rangle$ и $|\tilde{\varphi}_i(n \pm 1)\rangle$ отделены друг от друга на величину частоты поля излучения ω (рис. 1).

Столкновительную релаксацию компаунд-системы «атом + поле» удобно рассматривать в рамках метода матрицы плотности. Элементы матрицы плотности компаунд-системы в базисе «одетых» состояний определяются выражением

$$\tilde{\rho}_{in,jk} = \langle\tilde{\varphi}_i(n)|\tilde{\rho}|\tilde{\varphi}_j(k)\rangle, \quad \tilde{\rho}_{jk,in} = \tilde{\rho}_{in,jk}^*, \quad (11)$$

где $\tilde{\rho}$ — оператор плотности, равный

$$\tilde{\rho} = \sum_{injk} \tilde{\rho}_{in,jk} |\tilde{\varphi}_i(n)\rangle \langle\tilde{\varphi}_j(k)|, \quad i, j = 1, 2. \quad (12)$$

Изменение элементов матрицы плотности «одетого» атома за счет столкновений с частицами буферного газа можно описывать уравнениями [15, 19–21]

$$\begin{aligned} \left(\frac{\partial \tilde{\rho}_{2n,2k}}{\partial t} \right)_{coll} &= -\tilde{\nu}_{21}\tilde{\rho}_{2n,2k} + \tilde{\nu}_{12}\tilde{\rho}_{1n,1k}, \\ \left(\frac{\partial \tilde{\rho}_{1n,1k}}{\partial t} \right)_{coll} &= -\tilde{\nu}_{12}\tilde{\rho}_{1n,1k} + \tilde{\nu}_{21}\tilde{\rho}_{2n,2k}, \\ \left(\frac{\partial \tilde{\rho}_{2n,1k}}{\partial t} \right)_{coll} &= -\tilde{\nu}\tilde{\rho}_{2n,1k}, \end{aligned} \quad (13)$$

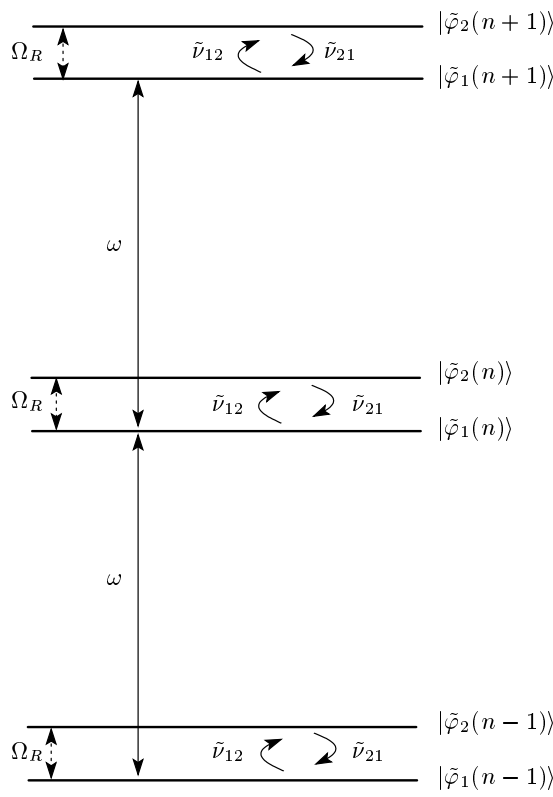


Рис. 1. Схема уровней и столкновительных переходов в «одетом» атоме

где $\tilde{\nu}_{21}$, $\tilde{\nu}_{12}$, $\tilde{\nu}$ — частоты столкновений. Их изменением с изменением n , в рамках условия (9), можно пренебречь. Уравнения (13) справедливы при выполнении условия разделенности уровней «одетого» атома:

$$\Omega_R \gg \tilde{\nu}_{21}, \tilde{\nu}_{12}, |\tilde{\nu}|, A. \quad (14)$$

Это условие позволяет пренебречь столкновительной связью между элементами матрицы плотности, эволюционирующих на различных частотах (секущирное приближение [13, 22]). Заметим, что условие (14) заведомо выполнено при интересующих нас больших отстройках частоты $|\Omega| \gg \Gamma$ (см. (2)).

При $k = n$ уравнения (13) описывают столкновительные переходы между уровнями $|\tilde{\varphi}_1(n)\rangle$ и $|\tilde{\varphi}_2(n)\rangle$ (эти переходы показаны на рис. 1 изогнутыми стрелками) и релаксацию низкочастотной когерентности $\tilde{\rho}_{2n,1n}$ между состояниями $|\tilde{\varphi}_2(n)\rangle$ и $|\tilde{\varphi}_1(n)\rangle$. Частоты столкновений в уравнениях (13) не меняются с изменением n , поэтому представленная картина столкновительной релаксации позволяет свести задачу к эффективной двухуровневой модели «одетых» атомов (с двумя уровнями $|\tilde{\varphi}_1(n)\rangle$ и $|\tilde{\varphi}_2(n)\rangle$, рис. 2). Мы можем утверждать, что частоты переходов $\tilde{\nu}_{21}$ и $\tilde{\nu}_{12}$

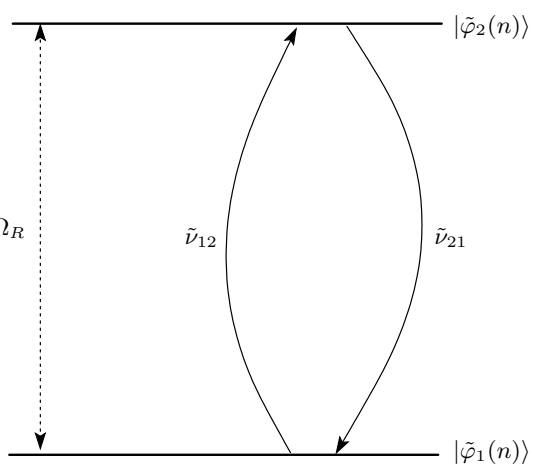


Рис. 2. Эффективная двухуровневая модель «одетых» атомов для релаксационной задачи

вещественные и в силу принципа детального равновесия связаны между собой соотношением (см., например, [23])

$$\frac{\tilde{\nu}_{12}}{\tilde{\nu}_{21}} \equiv \xi = \exp\left(-\frac{\hbar\Omega_R}{k_B T}\right). \quad (15)$$

В работах [15, 19–21] рассматривался случай $\hbar\Omega_R \ll \ll k_B T$ и поэтому полагалось $\tilde{\nu}_{12} = \tilde{\nu}_{21}$. Для рассматриваемой нами задачи принципиально важно наличие экспоненциального фактора в (15), так как обусловленное им различие частот $\tilde{\nu}_{12}$ и $\tilde{\nu}_{21}$ приводит, как мы увидим далее, к существенному дисбалансу между процессами испускания и поглощения излучения квантовой системой.

4. ЧАСТОТЫ СТОЛКНОВЕНИЙ

Концепция «одетых» атомов позволяет «автоматически», естественным образом учитывать в столкновительной задаче то обстоятельство, что при большой отстройке частоты излучения поле участвует в актах столкновений «одетого» атома с буферными частицами. Для эффективной двухуровневой модели «одетых» атомов (рис. 2) можно использовать уже известные выражения для интегралов столкновений [13], полученные в рамках ударного приближения (это приближение означает, что время столкновения значительно меньше времени свободного пробега). Предполагая, что активные и буферные частицы имеют равновесное (максвелловское) распределение по скоростям, для частот столкновений из формул, приведенных в работе [13], можно получить следующие выражения через характеристики элемен-

тарного акта рассеяния (через амплитуды рассеяния):

$$\begin{aligned} \tilde{\nu}_{12} &= \frac{2N_b}{(\sqrt{\pi}\bar{u})^3} \int d\mathbf{u} d\mathbf{u}_1 \exp\left(-\frac{\mathbf{u}^2}{\bar{u}^2}\right) \times \\ &\quad \times |f_{21}(\mathbf{u}_1|\mathbf{u})|^2 \delta\left[\mathbf{u}_1^2 - \mathbf{u}^2 + \frac{2\hbar\Omega_R}{\mu}\right], \\ \tilde{\nu}_{21} &= \frac{2N_b}{(\sqrt{\pi}\bar{u})^3} \int d\mathbf{u} d\mathbf{u}_1 \exp\left(-\frac{\mathbf{u}^2}{\bar{u}^2}\right) \times \\ &\quad \times |f_{12}(\mathbf{u}_1|\mathbf{u})|^2 \delta\left[\mathbf{u}_1^2 - \mathbf{u}^2 - \frac{2\hbar\Omega_R}{\mu}\right], \\ \tilde{\nu} &= \frac{2N_b}{(\sqrt{\pi}\bar{u})^3} \int d\mathbf{u} \exp\left(-\frac{\mathbf{u}^2}{\bar{u}^2}\right) \times \\ &\quad \times \left\{ \frac{\pi\hbar}{i\mu} [f_{22}(\mathbf{u}|\mathbf{u}) - f_{11}^*(\mathbf{u}|\mathbf{u})] - \right. \\ &\quad \left. - \int d\mathbf{u}_1 f_{22}(\mathbf{u}_1|\mathbf{u}) f_{11}^*(\mathbf{u}_1|\mathbf{u}) \delta(\mathbf{u}_1^2 - \mathbf{u}^2) \right\}, \end{aligned} \quad (16)$$

$$\bar{u} = \sqrt{\frac{2k_B T}{\mu}},$$

где \mathbf{u} и \mathbf{u}_1 — относительные скорости сталкивающихся частиц соответственно до и после столкновения, μ — приведенная масса сталкивающихся частиц, $\delta(x)$ — дельта-функция, $f_{ji}(\mathbf{u}_1|\mathbf{u})$ — амплитуды рассеяния «одетого» атома на бесструктурной буферной частице, индексами i и j ($i, j = 1, 2$) обозначена совокупность квантовых чисел соответственно начального и конечного состояний «одетого» атома (индексу «1» соответствует состояние $|\tilde{\varphi}_1(n)\rangle$ с энергией $\tilde{E}_1(n)$, индексу «2» — состояние $|\tilde{\varphi}_2(n)\rangle$ с энергией $\tilde{E}_2(n)$, см. рис. 2).

Из выражений (16) нетрудно получить соотношение (15) для частот переходов $\tilde{\nu}_{12}$ и $\tilde{\nu}_{21}$. Сделаем в формуле для $\tilde{\nu}_{12}$ в (16) замену переменных интегрирования

$$\mathbf{u} \rightarrow -\mathbf{u}_1, \quad \mathbf{u}_1 \rightarrow -\mathbf{u}. \quad (17)$$

Тогда получим

$$\begin{aligned} \tilde{\nu}_{12} &= \frac{2N_b}{(\sqrt{\pi}\bar{u})^3} \int d\mathbf{u} d\mathbf{u}_1 \exp\left(-\frac{\mathbf{u}_1^2}{\bar{u}^2}\right) \times \\ &\quad \times |f_{21}(-\mathbf{u} - \mathbf{u}_1)|^2 \delta\left[\mathbf{u}_1^2 - \mathbf{u}^2 - \frac{2\hbar\Omega_R}{\mu}\right]. \end{aligned} \quad (18)$$

Используя теорему взаимности для амплитуд прямого и обратного процессов [13, 24],

$$f_{21}(-\mathbf{u} - \mathbf{u}_1) = f_{12}(\mathbf{u}_1|\mathbf{u}), \quad (19)$$

формулу (18) можно преобразовать к виду

$$\begin{aligned} \tilde{\nu}_{12} &= \frac{2N_b}{(\sqrt{\pi}\bar{u})^3} \exp\left(-\frac{2\hbar\Omega_R}{\mu\bar{u}^2}\right) \times \\ &\quad \times \int d\mathbf{u} d\mathbf{u}_1 \exp\left(-\frac{\mathbf{u}^2}{\bar{u}^2}\right) \times \\ &\quad \times |f_{12}(\mathbf{u}_1|\mathbf{u})|^2 \delta\left[\mathbf{u}_1^2 - \mathbf{u}^2 - \frac{2\hbar\Omega_R}{\mu}\right]. \end{aligned} \quad (20)$$

Сравнивая формулу (20) с формулой (16) для $\tilde{\nu}_{21}$, получаем соотношение (15) с экспоненциальным фактором для отношения частот переходов $\tilde{\nu}_{12}$ и $\tilde{\nu}_{21}$.

С помощью оптической теоремы [13, 24],

$$\begin{aligned} \text{Im } f_{ii}(\mathbf{u}|\mathbf{u}) &= \frac{\mu}{2\pi\hbar} \sum_j \int d\mathbf{u}_1 |f_{ji}(\mathbf{u}_1|\mathbf{u})|^2 \times \\ &\quad \times \delta\left[\mathbf{u}_1^2 - \mathbf{u}^2 - \frac{2\hbar\Omega_R}{\mu} \text{sign}(i-j)\right], \quad i, j = 1, 2, \end{aligned} \quad (21)$$

из формул (16) также легко извлечь соотношение

$$\begin{aligned} 2 \text{Re } \tilde{\nu} &= \tilde{\nu}_{12} + \tilde{\nu}_{21} + \frac{2N_b}{(\sqrt{\pi}\bar{u})^3} \int d\mathbf{u} d\mathbf{u}_1 \exp\left(-\frac{\mathbf{u}^2}{\bar{u}^2}\right) \times \\ &\quad \times |f_{11}(\mathbf{u}_1|\mathbf{u}) - f_{22}(\mathbf{u}_1|\mathbf{u})|^2 \delta(\mathbf{u}_1^2 - \mathbf{u}^2). \end{aligned} \quad (22)$$

Отсюда следует неравенство

$$2 \text{Re } \tilde{\nu} \geq \tilde{\nu}_{12} + \tilde{\nu}_{21}, \quad (23)$$

переходящее в равенство лишь в случае одинакового рассеяния в состояниях 1 и 2 (при $f_{11}(\mathbf{u}_1|\mathbf{u}) = f_{22}(\mathbf{u}_1|\mathbf{u})$).

Расчет амплитуд рассеяния, входящих в формулы (16), в общем случае является сложной задачей и трудоемкость вычислений требует применения различных приближенных методов. При рассеянии быстрых частиц, когда длина волны де Броиля много меньше характерного радиуса взаимодействия ρ_W и модуль потенциала взаимодействия $U(\mathbf{r})$ значительно меньше кинетической энергии сталкивающихся частиц,

$$\frac{\hbar}{\mu u} \ll \rho_W, \quad |U(\mathbf{r})| \ll \frac{\mu u^2}{2}, \quad (24)$$

применимо приближение эйконала [13, 24]. В этом приближении для амплитуд рассеяния справедливо выражение [13]

$$\begin{aligned} f_{fi}(\mathbf{u}_f|\mathbf{u}_i) &= i \frac{\mu u_f}{2\pi\hbar} \int [\delta_{fi} - S_{fi}(\boldsymbol{\rho})] \times \\ &\quad \times \exp\left[i \frac{\mu u_f}{\hbar} (\hat{\mathbf{u}}_i - \hat{\mathbf{u}}_f) \boldsymbol{\rho}\right] d\boldsymbol{\rho}, \\ \hat{\mathbf{u}}_i &\equiv \frac{\mathbf{u}_i}{u_i}, \quad \hat{\mathbf{u}}_f \equiv \frac{\mathbf{u}_f}{u_f}, \\ u_f^2 &= u_i^2 + \frac{2\hbar\Omega_R}{\mu} \text{sign}(i-f), \quad i, f = 1, 2, \end{aligned} \quad (25)$$

где функции $S_{fi}(\rho)$ (вектор ρ — проекция радиуса-вектора r на плоскость, перпендикулярную к скорости u_i) определяются из уравнений

$$\begin{aligned} & \left(\hat{\mathbf{u}}_i \nabla + i \frac{\tilde{U}_{ff}}{\hbar u_f} \right) S_{fi} = \\ & = -\frac{i}{\hbar u_f} \sum_{j \neq f} \tilde{U}_{fj} S_{ji} \exp \left[i \frac{\mu}{\hbar} (u_j - u_f) \mathbf{r} \cdot \hat{\mathbf{u}}_i \right], \quad (26) \\ & \tilde{U}_{fi} = \langle \tilde{\varphi}_f(n) | U(\mathbf{r}) | \tilde{\varphi}_i(n) \rangle, \quad i, j, f = 1, 2. \end{aligned}$$

Матричные элементы \tilde{U}_{ii} потенциала взаимодействия $U(\mathbf{r})$ в базисе «одетых» состояний характеризуют столкновительные сдвиги уровней $|\tilde{\varphi}_i(n)\rangle$ компаунд-системы, матричные элементы \tilde{U}_{ij} ($i \neq j$) характеризуют столкновительные переходы между уровнями $|\tilde{\varphi}_i(n)\rangle$ и $|\tilde{\varphi}_j(n)\rangle$ компаунд-системы ($i, j = 1, 2$).

Принимая во внимание соотношения (6), для матричных элементов \tilde{U}_{ij} получаем следующие выражения через матричные элементы U_{ii} потенциала взаимодействия в базисе невозмущенных состояний атома (полагаем, что между уровнями активной частицы столкновительных переходов нет, поэтому $U_{12} = U_{21} = 0$) [6, 14, 16]:

$$\begin{aligned} \tilde{U}_{11} &= \frac{U_{11} + U_{22}}{2} - \frac{\Omega}{2\Omega_R} (U_{11} - U_{22}), \\ \tilde{U}_{22} &= \frac{U_{11} + U_{22}}{2} + \frac{\Omega}{2\Omega_R} (U_{11} - U_{22}), \\ \tilde{U}_{12} &= \frac{G^*}{\Omega_R} (U_{11} - U_{22}), \quad \tilde{U}_{21} = \tilde{U}_{12}^*, \\ U_{ii} &= \langle i | U(\mathbf{r}) | i \rangle \quad i = 1, 2. \end{aligned} \quad (27)$$

Матричные элементы U_{ii} характеризуют сдвиги уровней $|i\rangle$ активной частицы за счет столкновений. Заметим, что матричные элементы \tilde{U}_{ij} содержат в себе как параметры исходного потенциала взаимодействия сталкивающихся частиц, так и параметры излучения. Это значит, что в акте столкновения участвует квант поля излучения. В базисе невозмущенных состояний атома столкновения не приводят к переходам между состояниями $|1\rangle$ и $|2\rangle$ ($U_{12} = 0$) и в этом смысле являются «упругими». Ненулевая интенсивность излучения ($G \neq 0$) приводит к появлению столкновительных переходов между уровнями $|\tilde{\varphi}_1(n)\rangle$ и $|\tilde{\varphi}_2(n)\rangle$ «одетого» атома ($\tilde{U}_{12} \neq 0$), т. е. столкновения приобретают неупругий канал с энергетическим «зазором» $\hbar\Omega_R$. Происходит изменение и упругого канала рассеяния.

Конкретный расчет частот столкновений по приведенным выше формулам выходит за рамки нашего анализа и может быть предметом отдельной работы.

5. ИНТЕГРАЛЫ СТОЛКНОВЕНИЙ В БАЗИСЕ НЕВОЗМУЩЕННЫХ АТОМНЫХ СОСТОЯНИЙ

Найдем теперь искомые выражения для интегралов столкновений $(\partial \rho_{ij}/\partial t)_{coll}$ в уравнениях (3), исходя из уравнений (13), описывающих изменение элементов матрицы плотности «одетого» атома за счет столкновений с частицами буферного газа. Для этого необходимо найти связь между элементами матрицы плотности в различных базисах.

Приведем здесь некоторые соотношения, необходимые в дальнейшем для расчетов. Элементы матрицы плотности $\rho_{in,jk}$ в базисе состояний «невзаимодействующие атом + поле» определяются выражением

$$\rho_{in,jk} = \langle i | \langle n | \tilde{\rho} | j \rangle | k \rangle, \quad \rho_{jk,in} = \rho_{in,jk}^*. \quad (28)$$

Индексы i, j относятся к стационарным состояниям свободного атома ($i, j = 1, 2$), а индексы n, k — числа фотонов в поле. Из (28) следует, что оператор плотности $\tilde{\rho}$ (12) можно записать также в виде

$$\tilde{\rho} = \sum_{injk} \rho_{in,jk} (|i\rangle \langle j|) (|n\rangle \langle k|). \quad (29)$$

Состояние атомной подсистемы описывает приведенный (редуцированный) оператор плотности ρ :

$$\rho = \sum_n \langle n | \tilde{\rho} | n \rangle = \sum_{inj} \rho_{in,jn} |i\rangle \langle j|. \quad (30)$$

Отсюда находим элементы матрицы плотности ρ_{ij} в атомном базисе:

$$\rho_{ij} \equiv \langle i | \rho | j \rangle = \sum_n \rho_{in,jn}, \quad \rho_{ji} = \rho_{ij}^*. \quad (31)$$

Выразим матричные элементы $\rho_{in,jk}$ через $\tilde{\rho}_{in,jk}$, используя формулы (28), (12) и (6):

$$\begin{aligned} \rho_{1n,1k} &= b_1^2 \tilde{\rho}_{1n,1k} + |b_2|^2 \tilde{\rho}_{2n,2k} + b_1 b_2 \tilde{\rho}_{1n,2k} + \\ &+ b_1 b_2^* \tilde{\rho}_{2n,1k}, \\ \rho_{2n,2k} &= |b_2|^2 \tilde{\rho}_{1n+1,1k+1} + b_1^2 \tilde{\rho}_{2n+1,2k+1} - \\ &- b_1 b_2 \tilde{\rho}_{1n+1,2k+1} - b_1 b_2^* \tilde{\rho}_{2n+1,1k+1}, \\ \rho_{2n,1k} &= b_1 b_2 (\tilde{\rho}_{1n+1,1k} - \tilde{\rho}_{2n+1,2k}) + \\ &+ b_2^2 \tilde{\rho}_{1n+1,2k} - b_1^2 \tilde{\rho}_{2n+1,1k}. \end{aligned} \quad (32)$$

Обратное преобразование с использованием формул (11), (29) и (6) приводит к соотношениям

$$\begin{aligned}\tilde{\rho}_{1n,1k} &= b_1^2 \rho_{1n,1k} + |b_2|^2 \rho_{2n-1,2k-1} + \\ &+ b_1 b_2 \rho_{1n,2k-1} + b_1 b_2^* \rho_{2n-1,1k}, \\ \tilde{\rho}_{2n,2k} &= |b_2|^2 \rho_{1n,1k} + b_1^2 \rho_{2n-1,2k-1} - \\ &- b_1 b_2 \rho_{1n,2k-1} - b_1 b_2^* \rho_{2n-1,1k}, \\ \tilde{\rho}_{2n,1k} &= b_1 b_2 (\rho_{1n,1k} - \rho_{2n-1,2k-1}) + \\ &+ b_2^2 \rho_{1n,2k-1} - b_1^2 \rho_{2n-1,1k}.\end{aligned}\quad (33)$$

Найдем связь между интегралами столкновений в различных базисах. На основе уравнений (32) с учетом соотношения $b_1 b_2 = G/\Omega_R$ получаем выражения для интегралов столкновений, определенных в базисе состояний «невзаимодействующие атом + поле», через интегралы столкновений, определенные в базисе «одетых» состояний:

$$\begin{aligned}\left(\frac{\partial \rho_{1n,1n}}{\partial t}\right)_{coll} &= b_1^2 \left(\frac{\partial \tilde{\rho}_{1n,1n}}{\partial t}\right)_{coll} + \\ &+ |b_2|^2 \left(\frac{\partial \tilde{\rho}_{2n,2n}}{\partial t}\right)_{coll} + \\ &+ \frac{2}{\Omega_R} \operatorname{Re} \left[G^* \left(\frac{\partial \tilde{\rho}_{2n,1n}}{\partial t} \right)_{coll} \right],\end{aligned}\quad (34)$$

$$\begin{aligned}\left(\frac{\partial \rho_{2n,1n}}{\partial t}\right)_{coll} &= \frac{G}{\Omega_R} \left[\left(\frac{\partial \tilde{\rho}_{1n+1,1n}}{\partial t} \right)_{coll} - \right. \\ &\left. - \left(\frac{\partial \tilde{\rho}_{2n+1,2n}}{\partial t} \right)_{coll} \right] + \\ &+ b_2^2 \left(\frac{\partial \tilde{\rho}_{1n+1,2n}}{\partial t} \right)_{coll} - b_1^2 \left(\frac{\partial \tilde{\rho}_{2n+1,1n}}{\partial t} \right)_{coll}.\end{aligned}\quad (35)$$

Преобразуем правые части этих выражений к базису состояний «невзаимодействующие атом + поле». Выражение (34) с помощью соотношений (13) и (33) преобразуется к следующему виду (величина ξ — экспоненциальный фактор (15)):

$$\begin{aligned}\left(\frac{\partial \rho_{1n,1n}}{\partial t}\right)_{coll} &= \frac{\Omega}{\Omega_R} \tilde{\nu}_{21} [(\xi b_1^2 - |b_2|^2) \rho_{1n,1n} + \\ &+ (\xi |b_2|^2 - b_1^2) \rho_{2n-1,2n-1} + \frac{2(1+\xi)}{\Omega_R} \operatorname{Re}(G^* \rho_{2n-1,1n})] + \\ &+ \frac{2}{\Omega_R} \operatorname{Re} [\tilde{\nu} (b_1^2 G^* \rho_{2n-1,1n} - |b_2|^2 G \rho_{1n,2n-1})] - \\ &- \frac{2|G|^2 \operatorname{Re} \tilde{\nu}}{\Omega_R^2} (\rho_{1n,1n} - \rho_{2n-1,2n-1}).\end{aligned}\quad (36)$$

Аналогично, уравнение (35) преобразуется к виду

$$\begin{aligned}\left(\frac{\partial \rho_{2n,1n}}{\partial t}\right)_{coll} &= \\ &= - \left[\tilde{\nu} b_1^4 + \tilde{\nu}^* |b_2|^4 + \frac{2(1+\xi)|G|^2 \tilde{\nu}_{21}}{\Omega_R^2} \right] \rho_{2n,1n} + \\ &+ \frac{G}{\Omega_R} [(2\tilde{\nu}_{21} - \tilde{\nu}^*) |b_2|^2 - (2\xi \tilde{\nu}_{21} - \tilde{\nu}) b_1^2] \rho_{1n+1,1n} + \\ &+ \frac{G}{\Omega_R} [(2\tilde{\nu}_{21} - \tilde{\nu}) b_1^2 - (2\xi \tilde{\nu}_{21} - \tilde{\nu}^*) |b_2|^2] \rho_{2n,2n-1} + \\ &+ \frac{2G^2}{\Omega_R^2} [\operatorname{Re} \tilde{\nu} - (1+\xi) \tilde{\nu}_{21}] \rho_{1n+1,2n-1}.\end{aligned}\quad (37)$$

Чтобы получить искомые выражения для интегралов столкновений $(\partial \rho_{ij}/\partial t)_{coll}$ в базисе невозмущенных атомных состояний, нам нужно, согласно (31), просуммировать по n выражения (36), (37). При выполнении суммирования в правых частях выражений (36), (37) в силу условия (9) можно полагать

$$\rho_{in,jn\pm 1} \approx \rho_{in,jn}, \quad \rho_{in,jn\pm 2} \approx \rho_{in,jn}. \quad (38)$$

В результате для интегралов столкновений, входящих в уравнения (3), получаем следующие выражения:

$$\begin{aligned}\left(\frac{\partial \rho_{11}}{\partial t}\right)_{coll} &= \frac{\Omega}{\Omega_R} \tilde{\nu}_{21} [(\xi b_1^2 - |b_2|^2) \rho_{11} + \\ &+ (\xi |b_2|^2 - b_1^2) \rho_{22}] - \frac{2|G|^2 \tilde{\nu}'}{\Omega_R^2} (\rho_{11} - \rho_{22}) + \frac{2\tilde{\nu}''}{\Omega_R} \times \\ &\times \operatorname{Re}(iG^* \rho_{21}) + \frac{2\Omega}{\Omega_R^2} [(1+\xi)\tilde{\nu}_{21} - \tilde{\nu}'] \operatorname{Re}(G^* \rho_{21}),\end{aligned}\quad (39)$$

$$\begin{aligned}\left(\frac{\partial \rho_{21}}{\partial t}\right)_{coll} &= - \left[\left(1 + \frac{\Omega^2}{\Omega_R^2} \right) \frac{\tilde{\nu}'}{2} - i \frac{\Omega}{\Omega_R} \tilde{\nu}'' \right] \rho_{21} + \\ &+ \frac{G}{\Omega_R} \left(i \tilde{\nu}'' - \frac{\Omega}{\Omega_R} \tilde{\nu}' \right) (\rho_{11} - \rho_{22}) - \\ &- \frac{2G\tilde{\nu}_{21}}{\Omega_R} [(\xi b_1^2 - |b_2|^2) \rho_{11} + (\xi |b_2|^2 - b_1^2) \rho_{22}] + \\ &+ \frac{2G^2 \tilde{\nu}'}{\Omega_R^2} \rho_{21}^* - \frac{4(1+\xi)G\tilde{\nu}_{21}}{\Omega_R^2} \operatorname{Re}(G^* \rho_{21}).\end{aligned}\quad (40)$$

Здесь $\tilde{\nu}'$ и $\tilde{\nu}''$ обозначают соответственно действительную и мнимую части комплексной величины $\tilde{\nu}$. Интеграл столкновений $(\partial \rho_{22}/\partial t)_{coll}$ определяется правой частью формулы (39) с обратным знаком, так как из суммы первых двух уравнений в (3) при $N = \text{const}$ следует соотношение

$$\left(\frac{\partial \rho_{22}}{\partial t}\right)_{coll} = - \left(\frac{\partial \rho_{11}}{\partial t}\right)_{coll}. \quad (41)$$

6. КИНЕТИЧЕСКИЕ УРАВНЕНИЯ ДЛЯ МАТРИЦЫ ПЛОТНОСТИ

С учетом интегралов столкновений (39)–(41) при условии (14) кинетические уравнения (3) для матрицы плотности принимают следующий вид (второе уравнение в (3) исключаем, принимая во внимание условие нормировки (5)):

$$\begin{aligned} \left(\frac{d}{dt} + A \right) \rho_{22} &= -2 \operatorname{Re}(iG^* \rho_{21}) - \\ &- \frac{2\Omega}{\Omega_R^2} [(1 + \xi)\tilde{\nu}_{21} - \tilde{\nu}'] \operatorname{Re}(G^* \rho_{21}) + \\ &+ \frac{\Omega}{\Omega_R} \tilde{\nu}_{21} [(|b_2|^2 - \xi b_1^2) \rho_{11} + (b_1^2 - \xi |b_2|^2) \rho_{22}] + \\ &+ \frac{2|G|^2 \tilde{\nu}'}{\Omega_R^2} (\rho_{11} - \rho_{22}), \\ \left[\frac{d}{dt} + \frac{A}{2} + \left(1 + \frac{\Omega^2}{\Omega_R^2} \right) \frac{\tilde{\nu}'}{2} - \right. \\ &\left. - i \frac{\Omega}{\Omega_R} \tilde{\nu}'' - i\Omega \right] \rho_{21} = G \left(i - \frac{\Omega \tilde{\nu}'}{\Omega_R^2} \right) (\rho_{11} - \rho_{22}) + \\ &+ \frac{2G\tilde{\nu}_{21}}{\Omega_R} [(|b_2|^2 - \xi b_1^2) \rho_{11} + (b_1^2 - \xi |b_2|^2) \rho_{22}] + \\ &+ \frac{2G^2 \tilde{\nu}'}{\Omega_R^2} \rho_{21}^* - \frac{4(1 + \xi)G\tilde{\nu}_{21}}{\Omega_R^2} \operatorname{Re}(G^* \rho_{21}). \end{aligned} \quad (42)$$

Уравнения (42) заметно упрощаются при не слишком высокой интенсивности излучения, такой что

$$|G| \ll |\Omega|. \quad (43)$$

При этом в уравнениях (42) можно полагать, что

$$\begin{aligned} \Omega_R &= |\Omega|, \quad b_1 = \begin{cases} 0, & \Omega > 0, \\ 1, & \Omega < 0, \end{cases} \\ |b_2| &= \begin{cases} 1, & \Omega > 0, \\ 0, & \Omega < 0, \end{cases} \end{aligned} \quad (44)$$

и тогда они принимают вид

$$\begin{aligned} \left(\frac{d}{dt} + A \right) \rho_{22} &= P_{pol} + P_{oc}, \\ \left[\frac{d}{dt} + \frac{A}{2} + \tilde{\nu}' - i\tilde{\nu}'' \operatorname{sign} \Omega - i\Omega \right] \rho_{21} &= \\ &= G \left(i - \frac{\tilde{\nu}'}{\Omega} \right) (\rho_{11} - \rho_{22}) + \frac{2G}{\Omega} P_{oc}. \end{aligned} \quad (45)$$

Здесь введены обозначения

$$\begin{aligned} P_{pol} &= -2 \operatorname{Re}(iG^* \rho_{21}) - \frac{2}{\Omega} [(1 + \xi)\tilde{\nu}_{21} - \tilde{\nu}'] \operatorname{Re}(G^* \rho_{21}), \\ P_{oc} &= \begin{cases} \tilde{\nu}_{21}(\rho_{11} - \xi \rho_{22}), & \Omega > 0, \\ \tilde{\nu}_{21}(\xi \rho_{11} - \rho_{22}), & \Omega < 0, \end{cases} \quad \xi = \exp \left(-\frac{\hbar|\Omega|}{k_B T} \right). \end{aligned} \quad (46)$$

$$P_{oc} \gg P_{pol}. \quad (49)$$

Сумма $P_{pol} + P_{oc}$ есть вероятность поглощения излучения в единицу времени атомом. Величина P_{oc} есть вероятность поглощения излучения, обусловленная неупругими столкновительными переходами между уровнями «одетого» атома (P_{oc} отлична от нуля только при $\tilde{\nu}_{21} \neq 0$).

В стационарном случае из второго уравнения (45) получаем

$$\begin{aligned} P_{pol} &= \frac{2|G|^2}{\Omega^2} \times \\ &\times \left\{ \left[\frac{A}{2} + (1 + \xi)\tilde{\nu}_{21} - \tilde{\nu}' \right] (\rho_{11} - \rho_{22}) + 2P_{oc} \right\}. \end{aligned} \quad (47)$$

Из формул (46), (47) видно, что при не слишком низком давлении буферного газа, таком что

$$\tilde{\nu}_{21} \gg \frac{|G|^2}{\Omega^2} A, \quad (48)$$

имеет место соотношение

Оно означает, что при большой отстройке частоты излучения и при не слишком низком давлении буферного газа (в условиях (14), (43) и (48)) поглощение излучения практически целиком обусловлено оптическими столкновениями (поглощению излучения происходит в акте столкновения, а не на свободном пробеге), как и должно быть.

Соотношение (49), полученное для стационарных условий, сохраняется и при импульсном режиме взаимодействия излучения с атомами, если характеристическая частота релаксации когерентности «одетого» атома $\tilde{\nu}'$ велика по сравнению с обратным временем длительности импульса излучения τ_{puls}^{-1} ,

$$\tilde{\nu}' \gg \tau_{puls}^{-1}. \quad (50)$$

В этом случае кинетические уравнения (45) для матрицы плотности сводятся к одному балансному уравнению для населенностей уровней:

$$\left(\frac{d}{dt} + A \right) \rho_{22} = \begin{cases} \tilde{\nu}_{21}(\rho_{11} - \xi \rho_{22}), & \Omega > 0, \\ \tilde{\nu}_{21}(\xi \rho_{11} - \rho_{22}), & \Omega < 0. \end{cases} \quad (51)$$

Это уравнение полностью совпадает с уравнением баланса для населенностей уровней, полученным ранее [7, 8, 10] на основе соотношения (1) для спектральных плотностей коэффициентов Эйнштейна, если частоту столкновений $\tilde{\nu}_{21}$ в (51) представить, следуя работам [14–16], в виде

$$\tilde{\nu}_{21} = \frac{2|G|^2}{\Omega^2} \Gamma_{oc}(\Omega). \quad (52)$$

Величина $\Gamma_{oc}(\Omega)$ входит в модифицированную формулу Лоренца [15, 16], описывающую весь контур спектральной линии, включая далекие крылья. В общем случае $\Gamma_{oc}(\Omega)$ зависит от отстройки частоты Ω и интенсивности излучения (от параметра $|G|$). В случае (43) не слишком сильного поля зависимость величины $\Gamma_{oc}(\Omega)$ от интенсивности излучения пропадает, остается зависимость только от отстройки частоты [16]. При небольшой отстройке частоты излучения ($|\Omega| \ll \Omega_W$, где Ω_W — вайскопфовская частота [16]) величина $\Gamma_{oc}(\Omega)$ равна ударной полуширине линии поглощения Γ [16]. При большой отстройке частоты ($|\Omega| \gg \Omega_W$) величина $\Gamma_{oc}(\Omega)$ может быть как существенно больше, так и существенно меньше Γ [16]. Частота столкновений $\tilde{\nu}_{21}$ уменьшается с ростом модуля отстройки $|\Omega|$ [16].

В стационарных условиях из уравнения (51) с учетом соотношения (52) и условия нормировки (5) получаем известное выражение [10, 25] для разности населенностей возбужденного $|2\rangle$ и основного $|1\rangle$ уровней:

$$\begin{aligned} \rho_{22} - \rho_{11} &= N \frac{\varkappa(1 - \xi) \operatorname{sign} \Omega - 1}{1 + (1 + \xi)\varkappa}, \\ \varkappa &= \frac{2|G|^2 \Gamma_{oc}(\Omega)}{A\Omega^2}. \end{aligned} \quad (53)$$

Величина \varkappa имеет смысл параметра насыщения для перехода $|2\rangle - |1\rangle$ (при $|\Omega| \gg \Gamma$). Из формулы (53) следует, что при достаточно высокой интенсивности возбуждающего излучения (при $\varkappa > 1$) и при положительной отстройке частоты излучения ($\Omega > 0$) на переходе $|2\rangle - |1\rangle$ возникает инверсия населенностей. Как уже говорилось во Введении, этот эффект зарегистрирован экспериментально в виде генерации когерентного излучения на резонансном переходе атомов натрия при воздействии излучения накачки на «синее» крыло линии поглощения [6, 8–10].

Отметим еще одно обстоятельство, вытекающее из уравнения (51). В работах [3–5], посвященных построению обобщенной теории переноса резонансного излучения, сделан вывод о том, что в спектре испускания в «красном» крыле линии (при $\Omega < 0$) может наблюдаться сильно нерезонансный длинноволновый максимум из-за наличия экспоненциального множителя $\exp(-\hbar\Omega/k_B T)$ в уравнениях переноса излучения. Фактически этот вывод означает, что в «красном» крыле линии скорость спонтанной релаксации возбужденного состояния должна быть больше, чем скорость релаксации этого состояния в вакууме. В то же время из уравнения (51) (мы рассматриваем стационарные условия) видно, что нерезонансный максимум в «красном» крыле линии появляться не должен, так как экспоненциальный фактор ξ и частота столкновений $\tilde{\nu}_{21}$ уменьшаются с ростом отстройки. Причина расхождения выводов формально связана с тем, что правая часть уравнения (51) описывается двумя разными формулами в зависимости от знака отстройки частоты Ω , в то время как в работах [3–5] уравнение переноса излучения описывается единой формулой при любом знаке отстройки частоты.

Уравнения (51), выведенные строгим путем, легко могут быть получены из простых физических соображений. Обратимся к формулам (6), связывающим состояния $|\tilde{\varphi}_i(n)\rangle$ «одетого» атома с состояниями свободного атома и поля. При не слишком высокой интенсивности излучения накачки (43) и в случае положительных отстроек частоты излучения ($\Omega > 0$) из формул (6) с учетом (44) имеем

$$|\tilde{\varphi}_1(n)\rangle \approx \frac{G}{|G|}|2\rangle|n-1\rangle, \quad |\tilde{\varphi}_2(n)\rangle \approx \frac{G^*}{|G|}|1\rangle|n\rangle, \quad (54)$$

т. е. нижний уровень $|\tilde{\varphi}_1(n)\rangle$ компаунд-системы отвечает верхнему уровню $|2\rangle$ атома, а верхний уровень $|\tilde{\varphi}_2(n)\rangle$ компаунд-системы отвечает нижнему уровню $|1\rangle$ атома. Из рис. 2 с учетом соотношений (54) понятно, что изменение населенности верхнего уровня $|2\rangle$ атома за счет столкновений с частицами буферного газа описывается балансным уравнением

$$\left(\frac{\partial \rho_{22}}{\partial t} \right)_{coll} = \tilde{\nu}_{21}\rho_{11} - \tilde{\nu}_{12}\rho_{22}, \quad \Omega > 0, \quad (55)$$

правая часть которого совпадает с правой частью уравнения (51) при $\Omega > 0$ (напомним, что правая часть уравнения (51) равна интегралу столкновений $(\partial \rho_{22}/\partial t)_{coll}$).

В случае отрицательных отстройок частоты излучения ($\Omega < 0$) в условиях (43) имеем

$$|\tilde{\varphi}_1(n)\rangle \approx |1\rangle|n\rangle, \quad |\tilde{\varphi}_2(n)\rangle \approx -|2\rangle|n-1\rangle. \quad (56)$$

В этом случае порядок расположения в шкале энергии уровней компаунд-системы и уровней атома одинаков: нижнему уровню компаунд-системы отвечает нижний уровень атома, а верхнему уровню компаунд-системы — верхний уровень атома. Изменение населенности верхнего уровня $|2\rangle$ атома за счет столкновений с частицами буферного газа описывается теперь другим балансным уравнением:

$$\left(\frac{\partial \rho_{22}}{\partial t} \right)_{coll} = \tilde{\nu}_{12}\rho_{11} - \tilde{\nu}_{21}\rho_{22}, \quad \Omega < 0. \quad (57)$$

Правая часть этого уравнения совпадает с правой частью уравнения (51) при $\Omega < 0$.

Как видим, зависимость правой части уравнения (51) от знака отстройки Ω имеет простое и ясное физическое толкование. Учитывая то обстоятельство, что частота столкновительных переходов $\tilde{\nu}_{21}$ уменьшается с ростом модуля отстройки $|\Omega|$ [16], таким же физически прозрачным становится и вывод об отсутствии в спектре испускания нерезонансного максимума как в «красном», так и в «синем» крыльях линии.

7. ЗАКЛЮЧЕНИЕ

В настоящей работе получены квантовые кинетические уравнения для матрицы плотности с интегралами столкновений, описывающими нелинейные эффекты в крыльях спектральных линий. При выводе этих уравнений основной задачей являлось нахождение интегралов столкновений, описывающих изменение элементов матрицы плотности за счет упругих столкновений с частицами буферного газа при большой отстройке Ω частоты излучения, когда радиационные переходы осуществляются в акте столкновения, а не на свободном пробеге (так называемые оптические столкновения).

Столкновительная задача решалась на основе представлений о компаунд-системах «взаимодействующие атом + поле» (атом, «одетый» полем) [16, 20] как самостоятельном физическом объекте, с которым можно обращаться примерно так же, как и с обычной частицей. При таком подходе естественным образом учитывается участие поля излучения в актах столкновений «одетого» атома с буферными частицами.

При не слишком высокой интенсивности излучения, такой что $|G| \ll |\Omega|$, кинетические уравнения для матрицы плотности существенно упрощаются и сводятся к балансному уравнению (51) для населенностей уровней. Это уравнение полностью совпадает с уравнением баланса для населенностей уровней, полученным ранее [7, 8, 10] на основе соотношения (1) для спектральных плотностей коэффициентов Эйнштейна. В полученных уравнениях для матрицы плотности естественным образом содержится эффект неравенства спектральных плотностей коэффициентов Эйнштейна для поглощения и вынужденного испускания (см. соотношение (1)).

Итоговые кинетические уравнения оказались достаточно простыми. Они могут быть получены и на основе общефизических соображений (см. конец предыдущего раздела), однако при этом феноменологически введенные константы (частоты столкновений) остаются неопределенными. Один из основных результатов работы — установление связи этих констант с характеристиками излучения и элементарного акта рассеяния. При этом задача их вычисления сводится к стандартной задаче вычисления частот столкновений при известном потенциале взаимодействия сталкивающихся частиц. Второй важный результат работы — установление факта отсутствия роста интенсивности испускания как в «красном», так и в «синем» крыльях спектральной линии.

Авторы признательны Л. В. Ильичёву за полезные обсуждения.

Работа выполнена при финансовой поддержке программы ОФН РАН «Фундаментальная оптическая спектроскопия и ее приложения» (проект 9.5) и государственной программы поддержки ведущих научных школ РФ (№ НШ-4339.2010.2).

ЛИТЕРАТУРА

1. R. E. M. Hedges, D. L. Drummond, and A. Gallagher, Phys. Rev. A **6**, 1519 (1972).
2. А. Галлагер, в кн. *Эксимерные лазеры*, под ред. Ч. Роудза, Мир, Москва (1981), с. 173.
3. Ю. К. Земцов, А. Н. Старостин, ЖЭТФ **103**, 345 (1993).
4. Ю. К. Земцов, А. Ю. Сечин, А. Н. Старостин, ЖЭТФ **110**, 1654 (1996).
5. Ю. К. Земцов, А. Ю. Сечин, А. Н. Старостин, ЖЭТФ **114**, 135 (1998).

6. Р. В. Марков, А. И. Плеханов, А. М. Шалагин, ЖЭТФ **120**, 1185 (2001).
7. А. М. Шалагин, Письма в ЖЭТФ **75**, 301 (2002).
8. R. V. Markov, A. I. Plekhanov, and A. M. Shalagin, Phys. Rev. Lett. **88**, 213601 (2002).
9. R. V. Markov, A. I. Plekhanov, and A. M. Shalagin, Acta Phys. Polon. A **101**, 77 (2002).
10. Р. В. Марков, А. И. Пархоменко, А. И. Плеханов, А. М. Шалагин, ЖЭТФ **136**, 211 (2009).
11. Е. М. Лифшиц, Л. П. Питаевский, *Физическая кинетика*, Наука, Москва (1979).
12. В. А. Алексеев, Т. Л. Андреева, И. И. Собельман, ЖЭТФ **62**, 614 (1972).
13. С. Г. Раутиан, Г. И. Смирнов, А. М. Шалагин, *Нелинейные резонансы в спектрах атомов и молекул*, Наука, Новосибирск (1979).
14. В. С. Лисица, С. И. Яковленко, ЖЭТФ **68**, 479 (1975).
15. Д. С. Бакаев, Ю. А. Вдовин, В. М. Ермаченко, С. И. Яковленко, ЖЭТФ **83**, 1297 (1982).
16. С. И. Яковленко, УФН **136**, 593 (1982).
17. Э. Г. Пестов, С. Г. Раутиан, ЖЭТФ **64**, 2032 (1973).
18. Э. Г. Пестов, ЖЭТФ **86**, 1643 (1984).
19. Д. С. Бакаев, Ю. А. Вдовин, В. М. Ермаченко, С. И. Яковленко, КЭ **12**, 126 (1985).
20. C. Cohen-Tannoudji, J. Dupont-Roc, and G. Grynberg, *Atom-Photon Interactions: Basic Processes and Applications*, WILEY-VCH Verlag, Weinheim (2004).
21. S. Reynaud and C. Cohen-Tannoudji, J. Physique **43**, 1021 (1982).
22. К. Блум, *Теория матрицы плотности и ее приложения*, Мир, Москва (1983).
23. Д. Н. Зубарев, в кн. *Физическая энциклопедия*, т. 1, Большая Российская энциклопедия, Москва (1988), с. 585.
24. Л. Д. Ландау, Е. М. Лифшиц, *Квантовая механика*, Наука, Москва (1989).
25. А. И. Пархоменко, А. М. Шалагин, КЭ **39**, 1143 (2009).